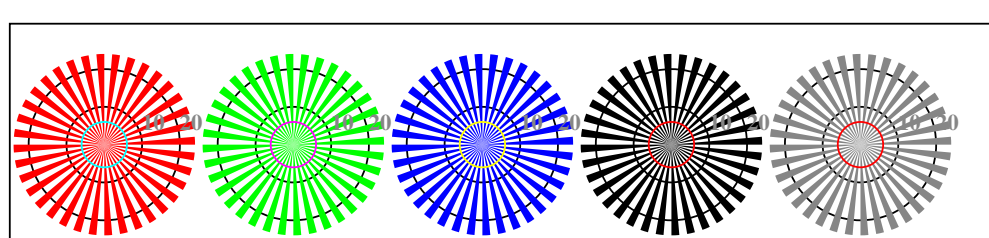


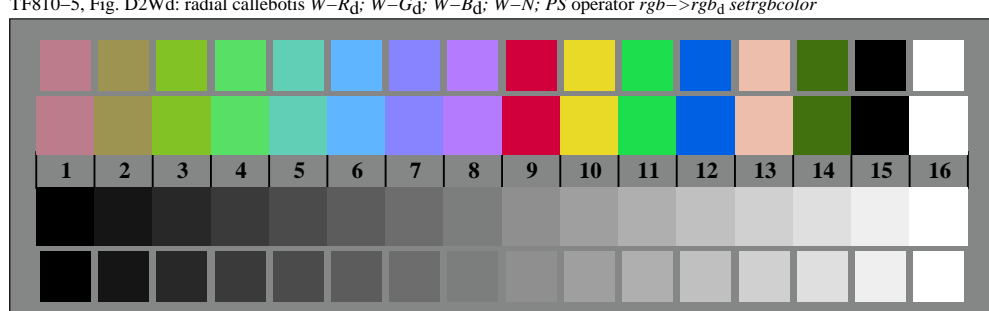
TF811-1, Fig. D4Wd: 16 équidistantes étapes $W - R_d$; $W - G_d$; $W - B_d$; $W - N$; $rgb/cmy0 \rightarrow rgb_d$ setrgbcolor

+:-.		lmno		pqrs		tuvw	
xyz;		hijk		lmno		pqrs	
tuvwxyz		defg		hijk		lmno	
pqrs		!abc		+:-.		hijk	
lmno		+:-.		xyz;		tuvwxyz	
hijk		xyz;		tuvwxyz		defg	
defg		tuvwxyz		defg		!abc	
!abc		pqrs		!abc			
10				6		N R_d G_d B_d Z	
				8		N R_d G_d B_d Z	

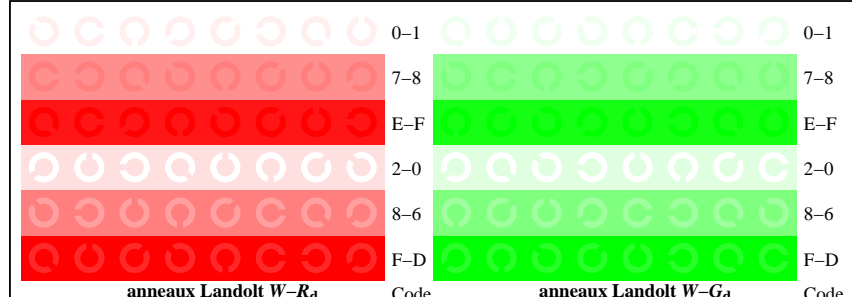
TF811-3, Fig. D5Wd: code et Landolt anneau N ; R_d ; G_d ; B_d ; Z ; PS operator $rgb \rightarrow rgb_d$ setrgbcolor



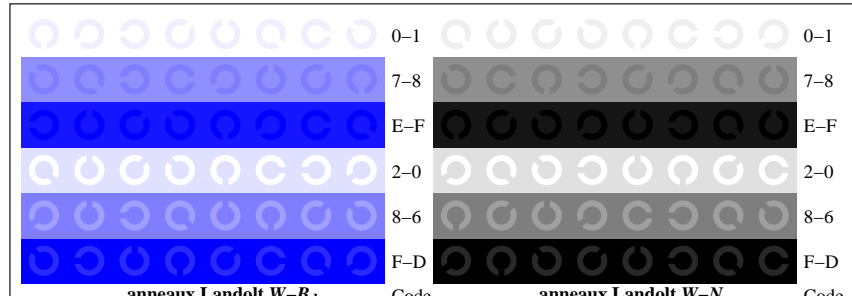
radial callebotis *W-Rd* **radial callebotis** *W-Gd* **radial callebotis** *W-Bd* **radial callebotis** *W-N* **radial callebotis** *W-Z*



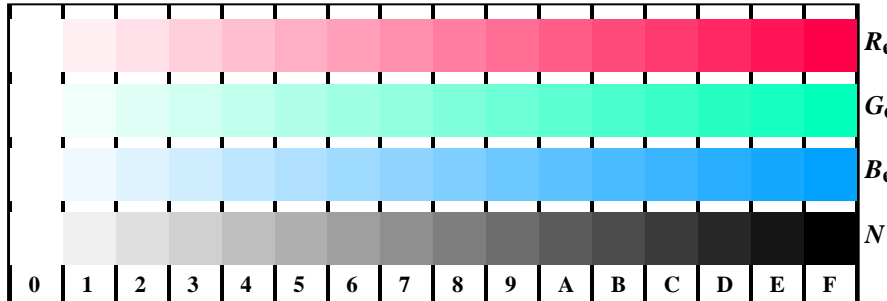
TF810-7, Fig. D3Wd: 14 CIE test couleurs et 2 + 16 gris étapes (sf); $rgb/cmy0 \rightarrow rgb_d$ setrgbcolor



TF811-5, Fig. D6Wd: anneaux Landolt $W-R_d$; $W-G_d$; PS operator $rgb \rightarrow rgb_d$ setrgbcolor

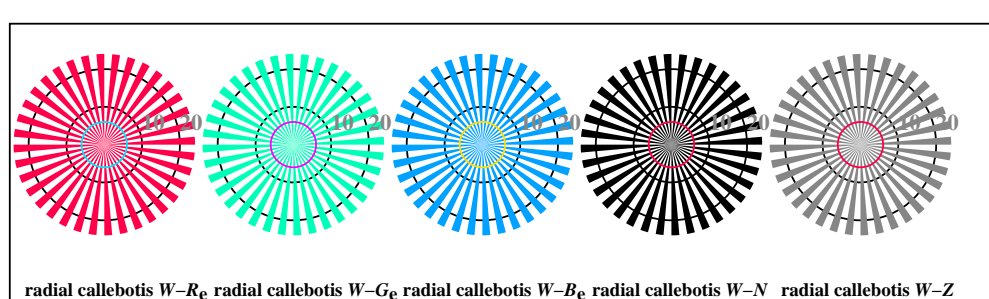


TF811-7, Fig. D7Wd: anneaux Landolt $W-B_d$; $W-N$; PS operator $rgb \rightarrow rgb_d$ setrgbcolor

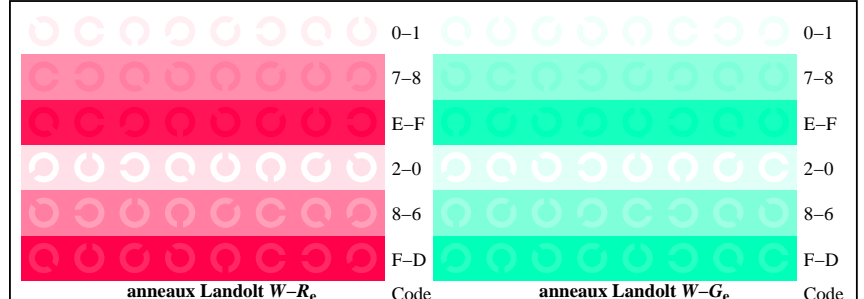


TF811-1, Fig. D4We: 16 équidistants étapes $W-Re$; $W-Ge$; $W-Be$; $W-N$; $rgb/cmy0->rgb_e$ setrgbcolor

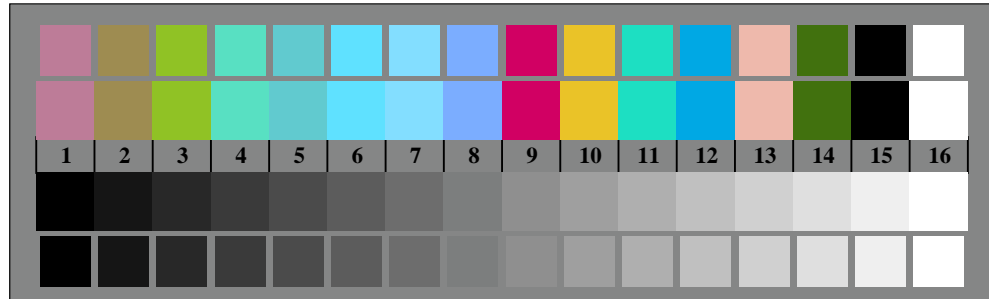
TF811-3, Fig. D5We: code et Landolt anneau N ; R_e ; G_e ; B_e ; Z ; PS operator $rgb \rightarrow rgb_e$ setrgbcolor



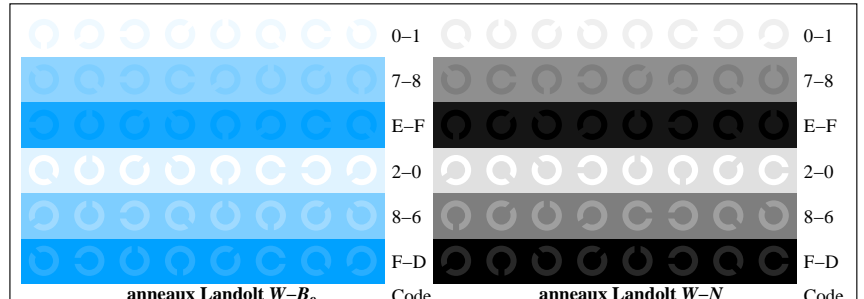
TF810-5, Fig. D2We: radial callebotis $W-Re$; $W-Ge$; $W-Be$; $W-N$; PS operator $rgb \rightarrow rgb_e$ setrgbcolor



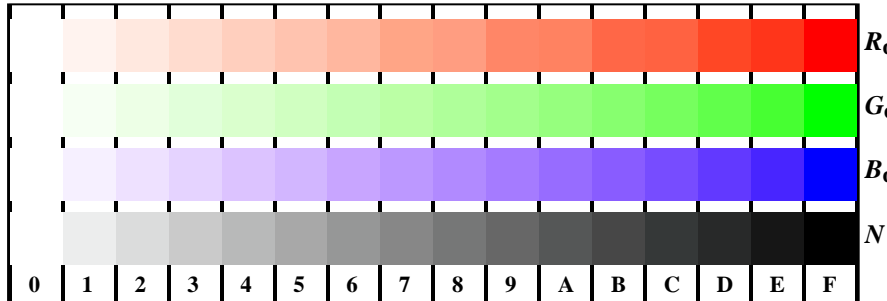
TF811-5, Fig. D6We: anneaux Landolt $W-R_E$; $W-G_E$; PS operator $rgb \rightarrow rgb_E$ setrgbcolor



TF810-7, Fig. D3We: 14 CIE test couleurs et 2 + 16 gris étapes (sf); $rgb/cmy0 \rightarrow rbg_e$ setrgbcolor



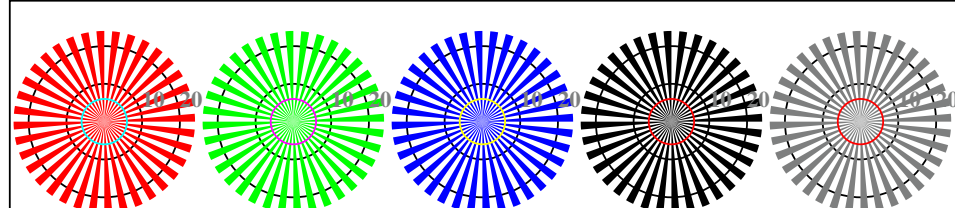
TF811-7, Fig. D7We: anneaux Landolt W-B_e; W-N; PS operator $rgb \rightarrow rgbe$ setrgbcolor



TF811-1, Fig. D4Wdd: 16 équidistants étapes $W-R_d$; $W-G_d$; $W-B_d$; $W-N$; $rgb/cmy0 \rightarrow rgb_{dd}$ setrgbcolor

+:-.		lmno		pqrs		tuvw	
xyz;		hijk		lmno		pqrs	
tuvwxyz		defg		hijk		lmno	
!abc		+:-.		+:-.		hijk	
pqrs		xyz;		xyz;		!abc	
lmno		tuvwxyz		tuvwxyz		defg	
hijk		defg		defg		!abc	
defg		!abc		!abc			
!abc							
10							

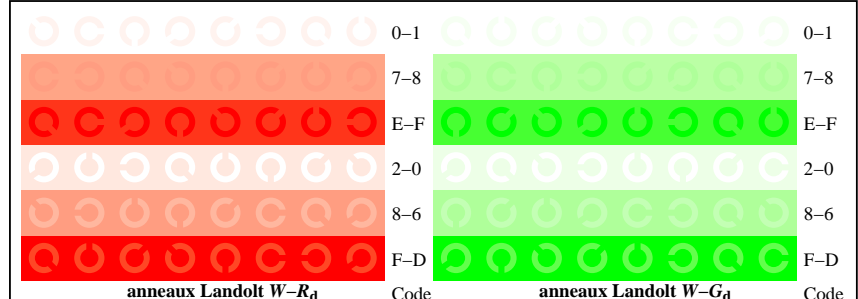
TF811-3, Fig. D5Wdd: code et Landolt anneau N ; R_d ; G_d ; B_d ; Z ; PS operator $rgb \rightarrow rgb_{dd}$ setrgbcolor



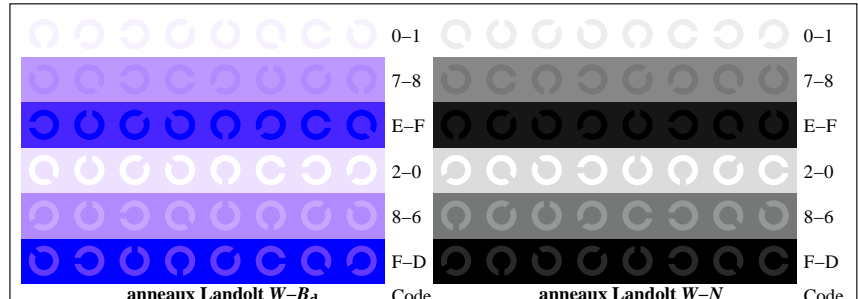
radial callebotis W-R_d **radial callebotis W-G_d** **radial callebotis W-B_d** **radial callebotis W-N** **radial callebotis W-Z**



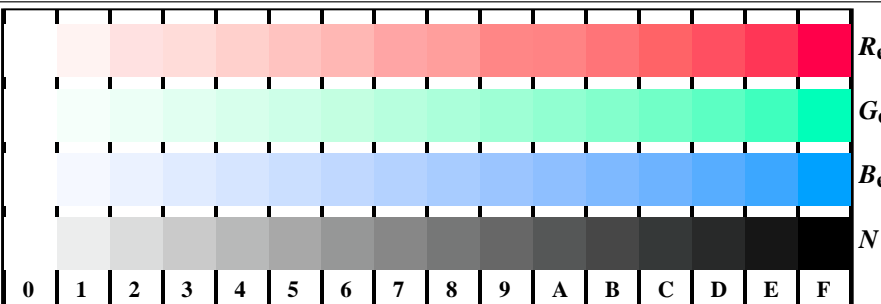
TF810-7, Fig. D3Wdd: 14 CIE test couleurs et 2 + 16 gris étapes (sf); $rgb/cmy0 \rightarrow rgb_{dd}$ setrgbcolor



TF811-5, Fig. D6Wdd: anneaux Landolt $W-R_d$; $W-G_d$; PS operator $rgb \rightarrow rgb_{dd}$ setrgbcolor



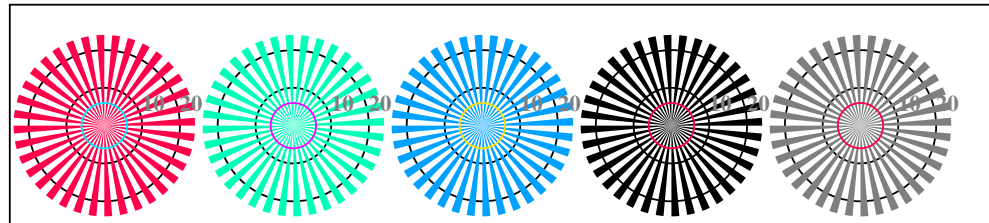
TF811-7, Fig. D7Wdd: anneaux Landolt W-B_{dd}; W-N; PS operator $rgb \rightarrow rgb_{dd}$ setrgbcolor



TF811-1, Fig. D4Wde: 16 équidistants étapes $W-R_e$; $W-G_e$; $W-B_e$; $W-N$; $rgb/cmy0 \rightarrow rgb_{de} setrgbcolor$

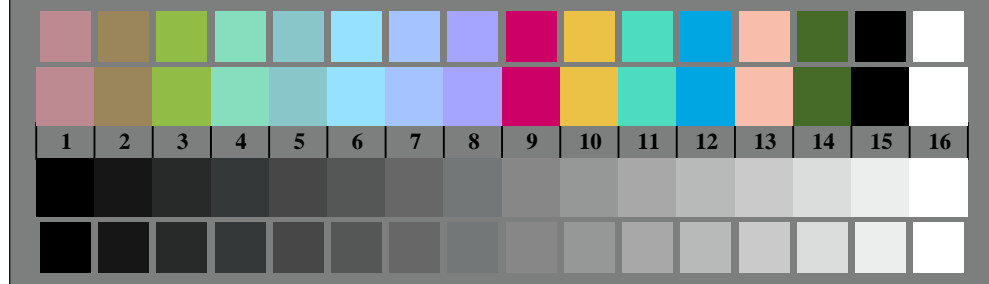
+-.:															
xyz;															
tuvw															
pqrs															
lmno															
hijk															
!abc															
+-.:															
xyz;															
tuvw															
pqrs															
lmno															
hijk															
!abc															
6															
8															
10															

TF811-3, Fig. D5Wde: code et Landolt anneau/ N ; R_e ; G_e ; B_e ; Z ; PS operator $rgb \rightarrow rgb_{de} setrgbcolor$



radial callebotis $W-R_e$ radial callebotis $W-G_e$ radial callebotis $W-B_e$ radial callebotis $W-N$ radial callebotis $W-Z$

TF811-5, Fig. D2Wde: radial callebotis $W-R_e$; $W-G_e$; $W-B_e$; $W-N$; PS operator $rgb \rightarrow rgb_{de} setrgbcolor$



TF811-7, Fig. D3Wde: 14 CIE test couleurs et 2 + 16 gris étapes (sf); $rgb/cmy0 \rightarrow rgb_{de} setrgbcolor$

0-1			0-1
7-8			7-8
E-F			E-F
2-0			2-0
8-6			8-6
F-D			F-D
anneaux Landolt $W-R_e$	Code	anneaux Landolt $W-G_e$	Code

TF811-5, Fig. D6Wde: anneaux Landolt $W-R_e$; $W-G_e$; PS operator $rgb \rightarrow rgb_{de} setrgbcolor$

0-1			0-1
7-8			7-8
E-F			E-F
2-0			2-0
8-6			8-6
F-D			F-D
anneaux Landolt $W-B_e$	Code	anneaux Landolt $W-N$	Code

TF811-7, Fig. D7Wde: anneaux Landolt $W-B_e$; $W-N$; PS operator $rgb \rightarrow rgb_{de} setrgbcolor$